

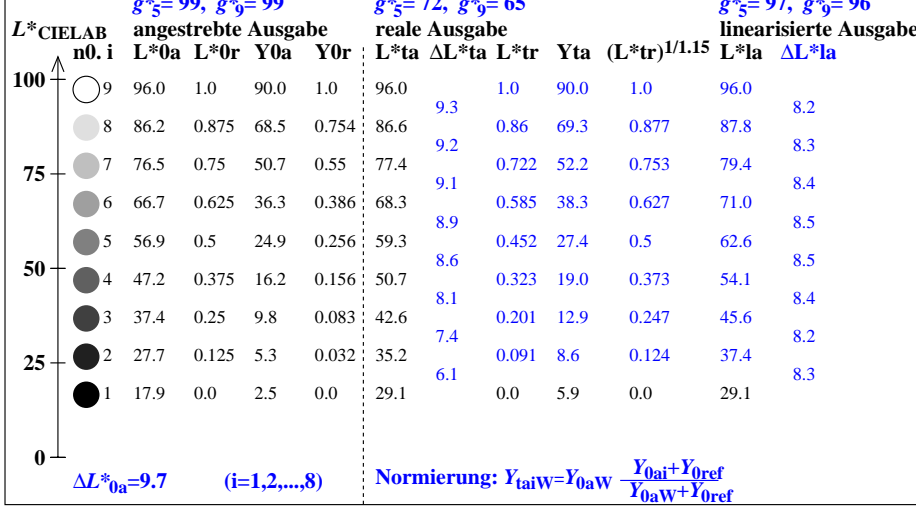
9stufige Grauskalierung zwischen  $L^*_{0aN}=17.9$  und  $L^*_{0aW}=95.9$ ,  $Y_{0ref}=3.6$ , Normierung Weiß W

$L^*_{0aN}=17.9$ ,  $L^*_{0aU}=56.9$ ,  $L^*_{0aW}=96.0$ ,  $Y_{0aN}=2.5$ ,  $Y_{0aU}=24.9$ ,  $Y_{0aW}=90.0$ ,  $C_{0aY}=Y_{0aW}:Y_{0aN}=36.0$

$L^*_{taN}=29.1$ ,  $L^*_{taU}=59.3$ ,  $L^*_{taW}=96.0$ ,  $Y_{taN}=5.9$ ,  $Y_{taU}=27.4$ ,  $Y_{taW}=90.0$ ,  $C_{taY}=Y_{taW}:Y_{taN}=15.3$

Regularitätsindex nach ISO/IEC 15775:2022, Anhang G für 5 und 9 Stufen

$g^* = 100 [\Delta L^*_{min}] / [\Delta L^*_{max}]$ ,  $L^*_{CIELAB} = 116 [Y/Y_n]^{1/3} - 16$  mit  $Y >= 0,882$ ,  $Y_n=100$



egp80-3N

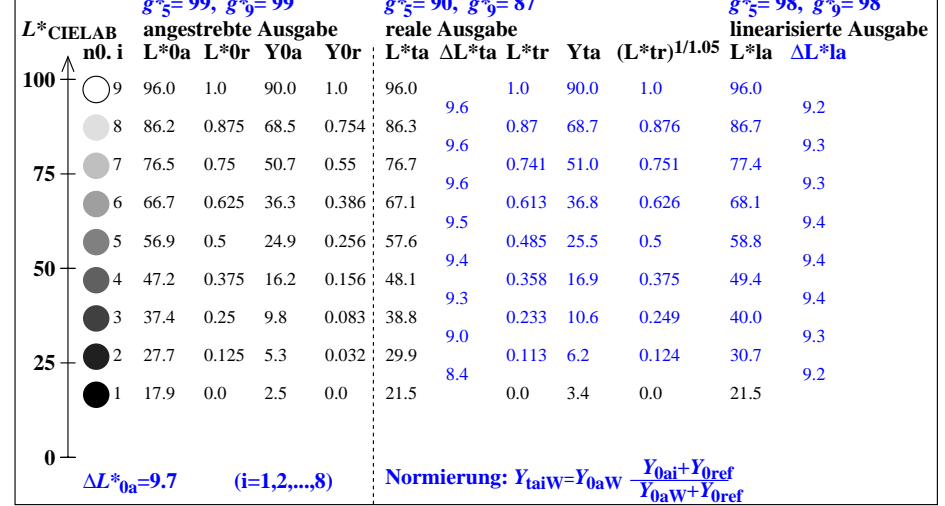
9stufige Grauskalierung zwischen  $L^*_{0aN}=17.9$  und  $L^*_{0aW}=95.9$ ,  $Y_{0ref}=0.9$ , Normierung Weiß W

$L^*_{0aN}=17.9$ ,  $L^*_{0aU}=56.9$ ,  $L^*_{0aW}=96.0$ ,  $Y_{0aN}=2.5$ ,  $Y_{0aU}=24.9$ ,  $Y_{0aW}=90.0$ ,  $C_{0aY}=Y_{0aW}:Y_{0aN}=36.0$

$L^*_{taN}=21.5$ ,  $L^*_{taU}=57.6$ ,  $L^*_{taW}=96.0$ ,  $Y_{taN}=3.4$ ,  $Y_{taU}=25.5$ ,  $Y_{taW}=90.0$ ,  $C_{taY}=Y_{taW}:Y_{taN}=26.7$

Regularitätsindex nach ISO/IEC 15775:2022, Anhang G für 5 und 9 Stufen

$g^* = 100 [\Delta L^*_{min}] / [\Delta L^*_{max}]$ ,  $L^*_{CIELAB} = 116 [Y/Y_n]^{1/3} - 16$  mit  $Y >= 0,882$ ,  $Y_n=100$



egp81-3N

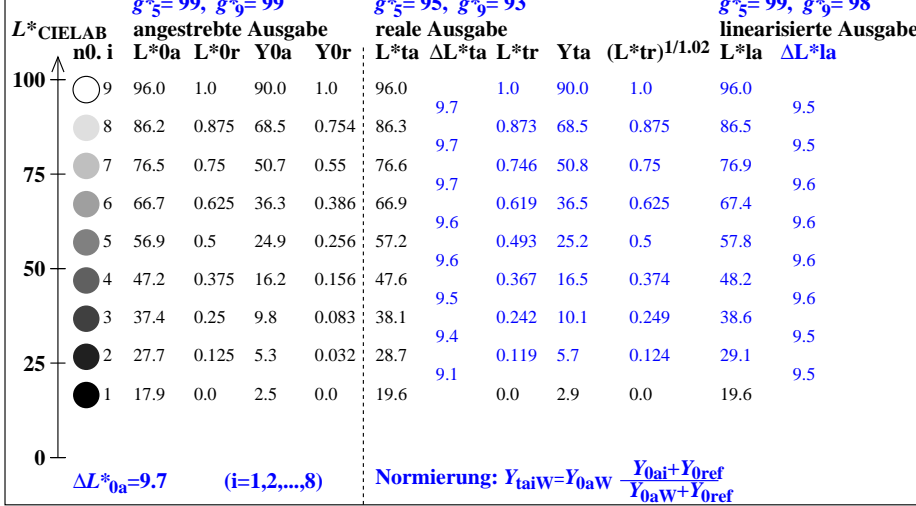
9stufige Grauskalierung zwischen  $L^*_{0aN}=17.9$  und  $L^*_{0aW}=95.9$ ,  $Y_{0ref}=0.4$ , Normierung Weiß W

$L^*_{0aN}=17.9$ ,  $L^*_{0aU}=56.9$ ,  $L^*_{0aW}=96.0$ ,  $Y_{0aN}=2.5$ ,  $Y_{0aU}=24.9$ ,  $Y_{0aW}=90.0$ ,  $C_{0aY}=Y_{0aW}:Y_{0aN}=36.0$

$L^*_{taN}=19.6$ ,  $L^*_{taU}=57.2$ ,  $L^*_{taW}=96.0$ ,  $Y_{taN}=2.9$ ,  $Y_{taU}=25.2$ ,  $Y_{taW}=90.0$ ,  $C_{taY}=Y_{taW}:Y_{taN}=31.2$

Regularitätsindex nach ISO/IEC 15775:2022, Anhang G für 5 und 9 Stufen

$g^* = 100 [\Delta L^*_{min}] / [\Delta L^*_{max}]$ ,  $L^*_{CIELAB} = 116 [Y/Y_n]^{1/3} - 16$  mit  $Y >= 0,882$ ,  $Y_n=100$



egp80-7N

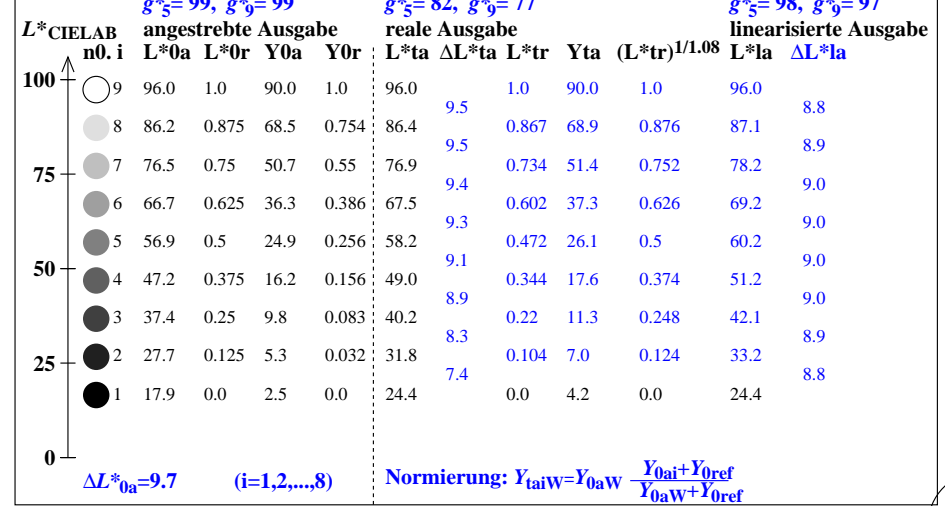
9stufige Grauskalierung zwischen  $L^*_{0aN}=17.9$  und  $L^*_{0aW}=95.9$ ,  $Y_{0ref}=1.8$ , Normierung Weiß W

$L^*_{0aN}=17.9$ ,  $L^*_{0aU}=56.9$ ,  $L^*_{0aW}=96.0$ ,  $Y_{0aN}=2.5$ ,  $Y_{0aU}=24.9$ ,  $Y_{0aW}=90.0$ ,  $C_{0aY}=Y_{0aW}:Y_{0aN}=36.0$

$L^*_{taN}=24.4$ ,  $L^*_{taU}=58.2$ ,  $L^*_{taW}=96.0$ ,  $Y_{taN}=4.2$ ,  $Y_{taU}=26.1$ ,  $Y_{taW}=90.0$ ,  $C_{taY}=Y_{taW}:Y_{taN}=21.3$

Regularitätsindex nach ISO/IEC 15775:2022, Anhang G für 5 und 9 Stufen

$g^* = 100 [\Delta L^*_{min}] / [\Delta L^*_{max}]$ ,  $L^*_{CIELAB} = 116 [Y/Y_n]^{1/3} - 16$  mit  $Y >= 0,882$ ,  $Y_n=100$



egp81-7N

Siehe ähnliche Dateien der ganzen Serie: http://farbe.li.tu-berlin.de/egps.htm  
Technische Information: http://farbe.li.tu-berlin.de oder http://color.li.tu-berlin.de

TUB-Registrierung: 20230701-egp8/egp810na.txt /ps  
Anwendung für Beurteilung und Messung von Display- oder Druck-Ausgabe  
TUB-Material: Code=rh4ta